

КИНЕТИЧЕСКИЕ СВОЙСТВА И ПОЛУМЕТАЛЛИЧЕСКИЙ МАГНЕТИЗМ В СПЛАВАХ ГЕЙСЛЕРА Mn_2YAl

B. V. Марченков^{a,b}, B. Ю. Ирхин^a, Ю. А. Перевозчикова^{a,**}, П. Б. Терентьев^{a,b},*

*A. A. Семянникова^a, Е. Б. Марченкова^a, M. Эйстерер^{c***}*

*^a Институт физики металлов им. М. Н. Михеева Уральского отделения Российской академии наук
620108, Екатеринбург, Россия*

*^b Уральский федеральный университет
620002, Екатеринбург, Россия*

^c Atominstutut, TU Wien Austria, 1020, Vienna

Поступила в редакцию 14 января 2019 г.,
после переработки 30 января 2019 г.
Принята к публикации 1 февраля 2019 г.

Экспериментально исследованы электрические, магнитные и гальваномагнитные свойства сплавов Гейслера Mn_2YAl ($Y = Ti, V, Cr, Mn, Fe, Co, Ni$). Получены температурные зависимости электросопротивления в широком интервале температур 4.2–1000 К. При $T = 4.2$ К измерены полевые зависимости магнитосопротивления и эффекта Холла в магнитных полях до 100 кЭ, а намагниченности — в полях до 70 кЭ. Рассматриваемые системы демонстрируют сильный ферромагнетизм либо скомпенсированный ферримагнетизм, причем возможны фазовые переходы с изменением магнитной структуры. Обсуждается вариативность электронной структуры в рядах данных сплавов, включающая состояния полуметаллического ферромагнетика и спинового бесщелевого полупроводника.

DOI: 10.1134/S0044451019060129

1. ВВЕДЕНИЕ

Экспериментальные и теоретические исследования полуметаллических ферромагнетиков (ПМФ) и спиновых бесщелевых полупроводников (СБП) представляют большой научный интерес, поскольку в таких материалах можно реализовать высокую степень спиновой поляризации носителей заряда, что может быть использовано в устройствах спинтроники [1].

Главной особенностью ПМФ является наличие щели на уровне Ферми для электронных состояний со спином вниз и отсутствие щели для носителей тока со спином вверх [2–4]. В простом приближении среднего поля это означает 100-процентную спиновую поляризацию носителей тока. Однако при учете квантовых эффектов электрон-магнитного

взаимодействия возникает деполяризация [3]; этот факт недавно был экспериментально подтвержден для классического ПМФ — двуокиси хрома CrO_2 [5]. Указанные эффекты играют определяющую роль и в температурных зависимостях кинетических свойств [6].

К настоящему времени известно множество работ по экспериментальному изучению сплавов Гейслера, в которых сообщается о наблюдении ПМФ-состояния (см., например, [7]). При этом следует отметить недостатки ПМФ на основе сплавов Гейслера как материалов для спинтроники: как правило, они обладают металлической проводимостью, поэтому важны разработка и исследование подобных систем, но близких по свойствам к классическим полупроводникам. Недавно появились сообщения о получении ПМФ на основе вырожденного легированного полупроводника $HgCr_2Se_4$ [8].

В 2008 г. был предсказан новый класс материалов — спиновые бесщелевые полупроводники, которые должны обладать рядом уникальных свойств, связанных с их необычной зонной структурой [9]. В СБП присутствует широкая ($\Delta E \sim 1$ эВ) щель

* E-mail: march@imp.uran.ru

** E-mail: yu.perevozchikova@imp.uran.ru

*** M. Eisterer

Таблица 1. Состав сплавов, содержание в них отдельных элементов по данным элементного анализа и тип структуры [17]

Сплав	Состав по данным EDAX	Mn, %	Y, %	Al, %	Тип структуры [17]
Mn ₂ TiAl	Mn _{2.04} Ti _{0.88} Al _{1.08}	51	22	27	L ₂ ₁
Mn ₂ VAl	Mn _{1.95} V _{1.04} Al _{1.01}	48.75	26	25.25	L ₂ ₁
Mn ₂ CrAl	Mn _{1.93} Cr _{1.04} Al _{1.03}	48.25	26	25.75	L ₂ ₁
Mn ₂ MnAl	Mn _{2.92} Al _{1.08}	73	—	27	X _a
Mn ₂ FeAl	Mn _{1.99} Fe _{0.94} Al _{1.07}	49.75	23.5	26.75	X _a
Mn ₂ CoAl	Mn _{1.99} Co _{0.96} Al _{1.05}	49.75	24	26.25	X _a
Mn ₂ NiAl	Mn _{1.89} Ni _{1.05} Al _{1.06}	47.25	26.25	26.5	X _a

вблизи энергии Ферми для одной проекции спина носителей тока, а для носителей с противоположным направлением спина имеется нулевая энергетическая щель, характерная для классических бесщелевых полупроводников. Такие материалы позволяют совместить свойства ПМФ с полупроводниками характеристиками с возможностью тонкого регулирования величины энергетической щели, а следовательно, и управления электронными свойствами.

На практике строго реализовать условия возникновения состояний ПМФ и, особенно, СБП непросто, однако имеются работы, в которых сообщается о наблюдении ПМФ- и СБП-состояний в сплавах Гейслера (см., например, [10–12]). В работе [10] говорится о реализации ПМФ-состояния и почти 100-процентной поляризации по спину в тонких пленках сплава Гейслера Co₂MnSi. Имеются также свидетельства о реализации СБП-состояния в соединениях Mn₂CoAl [11] и CoFeMnSi [12]. Известно [13–16], что особенности электронной структуры (плотности электронных состояний вблизи уровня Ферми E_F), а следовательно, и физических свойств, очень сильно изменяются при варьировании компонентов Y и Z в соединениях Гейслера X₂YZ. При этом могут наблюдаться переходы от обычного (магнитного и немагнитного) металлического и полупроводникового состояний в состояние полуметаллического ферромагнетика, затем в состояние спинового бесщелевого полупроводника и обратно. Поскольку обычно Y — это переходные 3d-металлы, а Z — элементы III–V группы таблицы Менделеева, изменения в плотности электронных состояний вблизи E_F , а следовательно, и

в физических свойствах, проявляются по-разному при варьировании компонента Y либо Z.

Таким образом, цель данной работы — проследить за изменением кинетических и магнитных свойств в сплавах Гейслера Mn₂YAl (Y = Ti, V, Cr, Mn, Fe, Co, Ni). Мы представим результаты экспериментальных исследований электрических, магнитных и гальваномагнитных свойств этих сплавов, свидетельствующие об изменении их электронных и магнитных характеристик при варьировании компонента Y. Комплексное экспериментальное изучение кинетических и магнитных характеристик для широкой совокупности сплавов этой системы, насколько известно авторам, до настоящего времени отсутствовало.

2. ОБРАЗЦЫ И МЕТОДИКА ЭКСПЕРИМЕНТА

Сплавы Гейслера Mn₂YAl были выплавлены в индукционной печи в атмосфере очищенного аргона. Затем они отжигались в течение 72 ч при $T = 650^\circ\text{C}$ в атмосфере аргона с последующим охлаждением до комнатной температуры со скоростью 100 град/ч.

Атомное содержание элементов в сплаве контролировалось с помощью сканирующего электронного микроскопа FEI Company Quanta 200, оснащенного приставкой энергодисперсионного рентгеновского микроанализа EDAX. В табл. 1 представлены данные элементного анализа исследованных сплавов и тип кристаллической структуры [17].

Методики измерения электро- и магнитосопротивления, намагниченности и эффекта Холла подробно описаны в работах [13–16].

3. РЕЗУЛЬТАТЫ И ОБСУЖДЕНИЕ

3.1. Электросопротивление

На рис. 1 представлены температурные зависимости электросопротивления $\rho(T)$ сплавов Mn_2YAl . Видно, что при изменении компонента Y для большинства сплавов системы Mn_2YAl (при вариации 3d-металлов) наблюдаются аномалии. Прежде всего, это относительно большая величина остаточного сопротивления, которая для Mn_2TiAl , Mn_2CrAl , Mn_3Al , Mn_2FeAl , Mn_2CoAl варьируется от 242 до 305 мкОм·см, а также наличие участков с отрицательным температурным коэффициентом сопротивления (ТКС). Исключение составляют сплавы Mn_2VAl и Mn_2NiAl , остаточное сопротивление которых сравнительно невелико и равно соответственно 84 и 120 мкОм·см, а $\rho(T)$ монотонно возрастает с температурой. Это может указывать на близость соединений Mn_2TiAl , Mn_2CrAl , Mn_3Al , Mn_2FeAl , Mn_2CoAl к состоянию СБП с малой щелью и низкой энергией активации.

Для сравнения укажем на результаты, полученные в работе [18] для соединения Co_2TiSn , которое, по-видимому, является ПМФ со сравнительно низкой температурой Кюри, $T_C \approx 350$ К, что удобно с точки зрения исследования изменения кинетических свойств при магнитном превращении. Оно демонстрирует переход из обычного металлического в состояние с отрицательным ТКС (которое интерпретируется как полупроводниковое), когда система претерпевает превращение из ферромагнитного в парамагнитное состояние с ростом температуры. Кинетические свойства ферромагнитного сплава Гейслера $CoFeTiSn$ с $T_C \approx 300$ К демонстрируют ту же особенность [19]; расчеты *ab initio* [20] дают для этой системы почти полуметаллическую электронную структуру с очень малым числом носителей заряда для одной из проекций спина. Такая неопределенность указывает на возможное формирование состояния, близкого к СБП.

Можно ожидать, что наличие щели на E_F для одной либо двух проекций спина должно проявляться и в других транспортных, а также магнитных свойствах. Особенно это должно быть заметным при температурах много меньших T_C . Поэтому были изучены полевые зависимости магнитных и гальваномагнитных свойств при температуре жид-

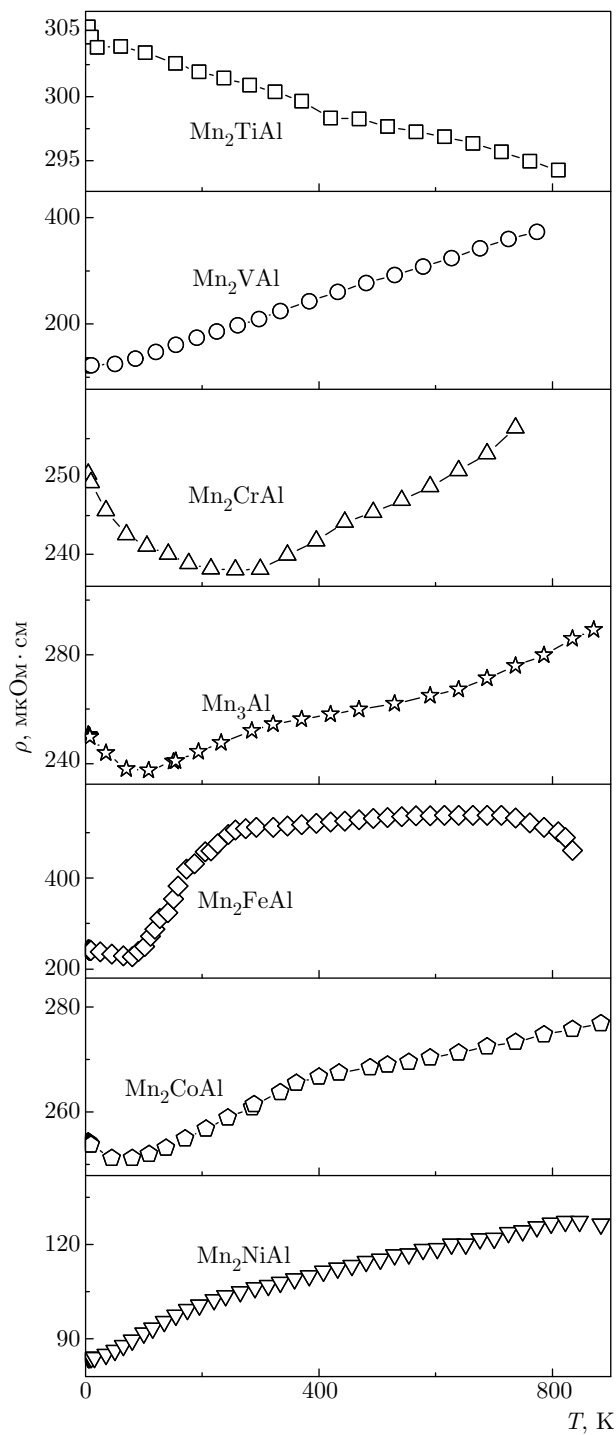


Рис. 1. Температурные зависимости сопротивления сплавов Mn_2YAl ($Y = Ti$ (квадрат), V (кружок), Cr (треугольник), Mn (звездочка), Fe (ромб), Co (пятиугольник), Ni (перевернутый треугольник))

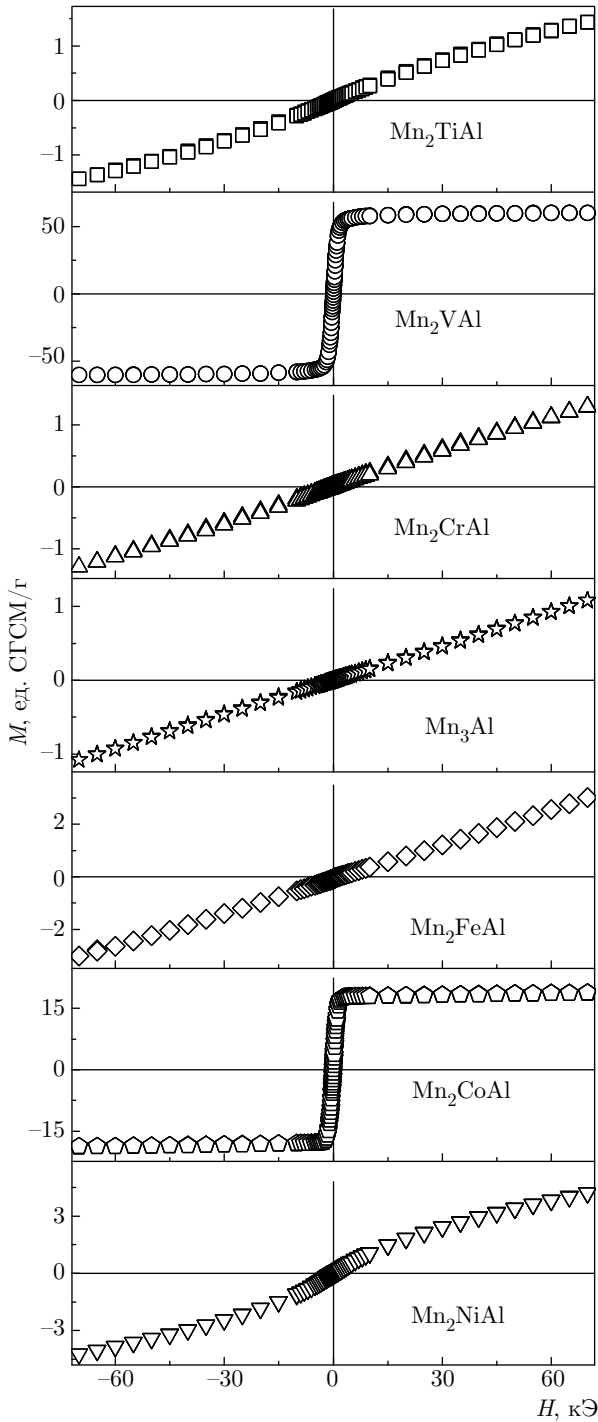


Рис. 2. Полевые зависимости намагниченности в сплавах Гейслера Mn_2YAl ($Y = Ti$ (квадрат), V (кружок), Cr (треугольник), Mn (звездочка), Fe (ромб), Co (пятиугольник), Ni (перевернутый треугольник))

кого гелия $T = 4.2$ К, а также температурные зависимости намагниченности.

3.2. Магнитные свойства

На рис. 2 приведены результаты измерений полевых зависимостей намагниченности $M(H)$ системы сплавов Mn_2YAl при $T = 4.2$ К. Видно, что для сплавов Mn_2VAl и Mn_2CoAl в пределе сильных магнитных полей зависимости $M(H)$ становятся линейными функциями и могут быть описаны выражением

$$M = M_s + 4\pi\chi H, \quad (1)$$

где M_s — спонтанная намагниченность, а χ — восприимчивость параллельного процесса. При этом гистерезис наблюдается для сплавов Mn_2TiAl , Mn_2VAl , Mn_2CoAl и Mn_2NiAl (см. табл. 2, где представлены значения коэрцитивной силы H_c).

Величины спонтанной намагниченности M_s и восприимчивость параллельного процесса χ , полученные при обработке экспериментальных данных $M(H)$ согласно выражению (1), приведены в табл. 2. Для всех исследованных сплавов величины $\chi \sim (1.5-3.5) \cdot 10^{-6}$ см³/г. Кривые намагничивания $M(H)$ имеют вид, свойственный обычным ферромагнетикам только для сплавов Mn_2VAl и Mn_2CoAl . Определенная при этом величина спонтанной намагниченности образца Mn_2VAl близка к значению $M_s = 1.97 \mu_B/\text{форм. ед.}$, полученному для данного сплава [21]. Однако для сплава Mn_2CoAl значение $M_s = 0.62 \mu_B/\text{форм. ед.}$, определенное нами, значительно меньше величины $2 \mu_B/\text{форм. ед.}$, полученной в расчетах *ab initio* (см., например, [22]). Возможно, это связано с тем, что в исследованном образце Mn_2CoAl присутствовала дополнительная фаза типа DO_3 , характерная для Mn_3Al .

Кривые намагничивания сплавов Mn_2TiAl и Mn_2NiAl свидетельствуют о более сложном типе их магнитного упорядочения. Для точного определения вида магнитного порядка рассматриваемых сплавов требуются нейтронографические исследования. Поведение $M(H)$ свидетельствует о близком к нулю полном моменте для сплавов Mn_3Al , Mn_2CrAl и Mn_2FeAl ; для двух последних систем это противоречит результатам расчета [22]. Согласно работе [23], Mn_3Al может быть охарактеризован как компенсированный ферромагнетик, сохраняющий природу полуметаллического состояния. Аналогична ситуация в $Mn_{1.5}FeV_{0.5}Al$ [24]. Ранее подобное состояние было получено в расчетах [25] и названо полуметаллическим антиферромагнетиком. Оно может быть перспективным для спинtronики, поскольку в нем имеется высокая спиновая поляризация носителей тока. Вероятно, такое состояние реализуется и в сплавах Mn_2CrAl и Mn_2FeAl .

Таблица 2. Спонтанная намагниченность M_s при $T = 4.2$ К, парамагнитная восприимчивость χ , коэффициенты нормального R_0 и аномального R_s эффектов Холла, остаточное сопротивление ρ_0 , концентрация n и подвижность μ носителей заряда, коэрцитивная сила H_c , определенные из измерений намагниченности, эффекта Холла и электросопротивления в сплавах Mn_2YAl

Сплав	M_s , ед. СГСМ/г	$\chi \cdot 10^6$, см ³ /г	$R_0 \cdot 10^4$, см ³ /Кл	R_s , см ³ /Кл	ρ_0 , мкОм · см	$n \cdot 10^{-21}$, см ⁻³	μ , см ² /(с · В)	H_c , Э
Mn_2TiAl	0.2	1.4	14.2	9.67	305.5	4.4	4.6	240
Mn_2VAl	58.9	1.5	1.76	0.24	122.3	35.4	1.4	15
Mn_2CrAl	—	1.5	4	—	250.4	15.6	1.6	—
Mn_2MnAl	—	1.2	1.71	—	250.6	36.5	0.7	—
Mn_2FeAl	—	3.3	4.06	—	242.1	15.4	1.7	—
Mn_2CoAl	17.8	1.1	4.46	3.02	254.3	14	1.8	90
Mn_2NiAl	1.2	3.5	0.18	0	84.1	34.7	0.2	350

На рис. 3 представлены температурные зависимости намагниченности $M(T)$ сплавов системы Mn_2YAl в поле 100 Э.

Из сравнения рис. 1 и 3 видно, что имеется совпадение особенностей на температурных зависимостях сопротивления и намагниченности для сплавов Mn_2FeAl в области $T = 100$ К и Mn_2NiAl вблизи $T = 150$ К (в последнем случае особенность в сопротивлении более слабая — сравнительно плавное изменение наклона). Это может указывать на влияние фазовых переходов с изменением магнитной структуры. Однако для однозначного вывода о наличии фазовых переходов вблизи этих температур нужны дополнительные эксперименты, например, рентгеновские исследования в широкой области температур, что является предметом отдельного изучения. Особенность сопротивления в системе Mn_2CoAl вблизи $T = 350$ К (рис. 1) совпадает с температурой Кюри для этого соединения (рис. 3).

3.3. Эффект Холла

Результаты измерений полевых зависимостей холловского сопротивления $\rho_H(H)$ в сплавах Mn_2YAl приведены на рис. 4. Были также определены величины коэффициентов нормального (НЭХ) R_0 и аномального (АЭХ) R_s эффектов Холла по методике, подробно описанной в работах [14, 16].

Согласно теории кинетических явлений в металлах [26–28], коэффициент R_0 определяется не только числом холловских носителей. Важную роль в

формировании НЭХ играет подвижность носителей заряда, которая определяется как

$$\mu = R_0 / \rho_0. \quad (2)$$

Здесь ρ_0 — удельное электросопротивление; оно было измерено в рассматриваемых системах сплавов при $T = 4.2$ К и приводится в табл. 2.

Как известно, [26–28], коэффициент АЭХ ферромагнитных соединений R_s связан с их удельным сопротивлением ρ_0 и спонтанной намагниченностью M_s соотношением

$$R_s \propto \lambda_{eff} \frac{\rho_0^k}{M_s}, \quad (3)$$

где λ_{eff} — эффективный параметр спин-орбитального взаимодействия, k — показатель степени, величина которого (обычно 1 или 2) зависит от механизма рассеяния носителей заряда. Если сравнить значения коэффициента R_s с величинами остаточного сопротивления ρ_0 и спонтанной намагниченности M_s , которые приведены в таблице, то можно увидеть справедливость выражения (3) для исследованных сплавов.

Зависимость аномального коэффициента Холла от остаточного сопротивления $R_s = f(\rho_0)$ для Mn_2YAl приведена на рис. 5. Видно, что в данном случае показатель степени k в зависимости $R_s \propto \rho_0^k$ больше трех, т. е. он существенно отличается от 1 и 2. Поэтому можно предположить, что существующие модели, которые обычно используются при анализе аномального эффекта Холла, не описывают поведение АЭХ в данных сплавах. Следу-

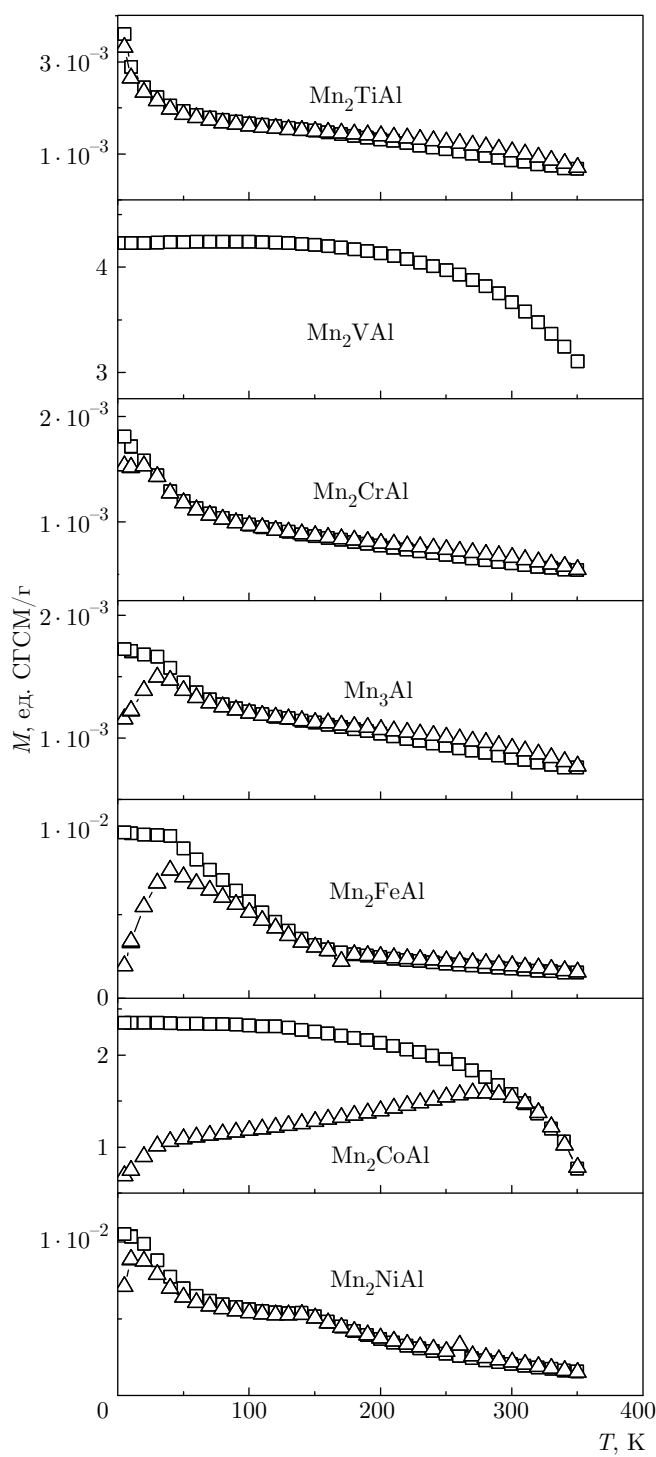


Рис. 3. Температурные зависимости намагниченности $M(T)$ сплавов системы Mn_2YAl в поле 100 Э. Квадратами обозначены кривые FC, а треугольниками — ZFC

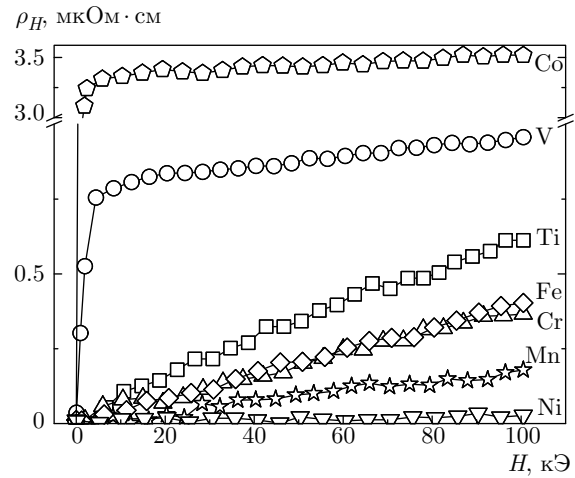


Рис. 4. Полевые зависимости холловского сопротивления в сплавах Гейслера Mn_2YAl ($Y = \text{Ti}$ (квадрат), V (кружок), Cr (треугольник), Mn (звездочка), Fe (ромб), Co (пятиугольник), Ni (перевернутый треугольник))

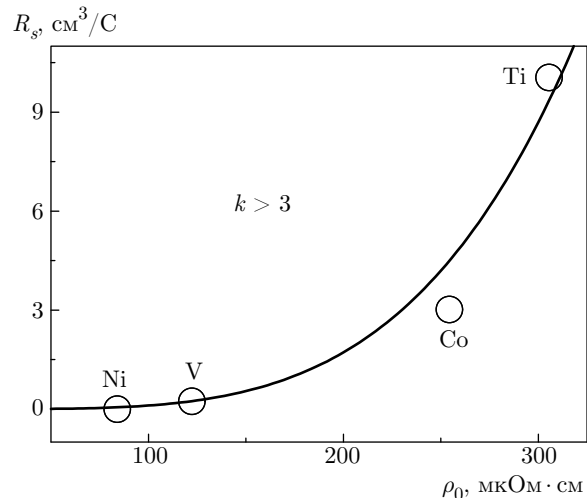


Рис. 5. Зависимость $R_s = f(\rho_0)$ для системы сплавов Mn_2YAl

ет отметить, что зависимость $R_s \propto \rho_0^k$ с показателем степени $k > 3$ наблюдалась в сплавах Гейслера Fe_2YAl в работе [14]. По-видимому, АЭХ рассматриваемых сплавов во многом определяется перестройкой электронной зонной структуры вблизи уровня Ферми E_F , сопровождаемой изменением числа носителей тока с разными проекциями спина.

3.4. Магнитосопротивление

На рис. 6 представлены полевые зависимости магнитосопротивления сплавов при $T = 4.2$ К. Видно, что наблюдается как положительное, так и отри-

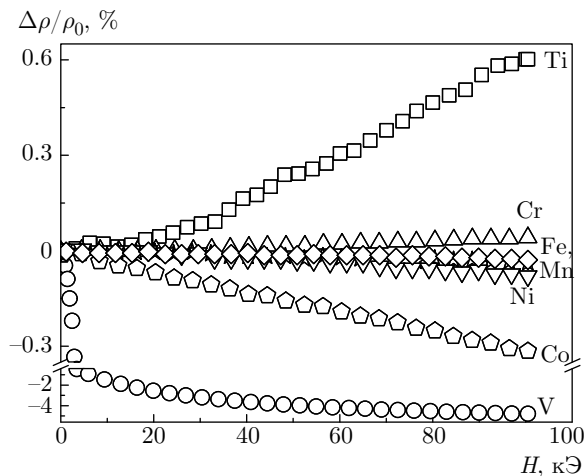


Рис. 6. Полевые зависимости магнитосопротивления системы сплавов Mn_2YAl ($Y = Ti$ (квадрат), V (кружок), Cr (треугольник), Mn (звездочка), Fe (ромб), Co (пятиугольник), Ni (перевернутый треугольник)) при $T = 4.2$ К

цательное магнитосопротивление, линейное по магнитному полю и с более сильной зависимостью, близкой к квадратичной.

Согласно работе [6], двухмагнонные процессы рассеяния в ПМФ приводят, наряду с аномальными температурными зависимостями магнитного сопротивления, к отрицательному линейному магнитосопротивлению. Отметим, что в ПМФ-сплаве Co_2FeSi [16, 29], а также ПМФ-системе Co_2TiSn [18] наблюдалось отрицательное магнитосопротивление. Можно предположить, что в сплавах с $Y = V, Mn, Fe, Co, Ni$ наблюдаемые полевые зависимости с отрицательным линейным и/или близким к линейному магнитосопротивлением могут быть косвенным подтверждением проявления двухмагнонных процессов рассеяния.

4. ЗАКЛЮЧЕНИЕ

В результате проведенных экспериментальных исследований обнаружен ряд аномалий электронных и магнитных свойств сплавов Гейслера Mn_2YAl . Эти аномалии могут быть проявлением особенностей электронного энергетического спектра, проявляющихся в возникновении состояний полуметаллического ферромагнетика или спинового бесщелевого полупроводника. Имеющиеся экспериментальные методики не позволяют в ряде случаев однозначно различить эти ситуации.

На температурных зависимостях сопротивления исследованных сплавов имеются участки с отрица-

тельныйным температурным коэффициентом сопротивления, что может указывать на близость к состоянию СБП с исчезающе малой энергетической щелью. Вопреки расчетам электронной структуры [22], магнитные измерения для систем Mn_2YAl ($Y = Cr, Mn, Fe$) дают нулевую полную намагниченность и могут указывать на скомпенсированный феримагнетизм. Особый интерес представляют обнаруженные аномалии в температурной зависимости намагниченности сплавов Mn_2FeAl и Mn_2NiAl , которые коррелируют с аномалиями электросопротивления. Это может быть проявлением фазовых переходов с изменением магнитной структуры.

Полученные результаты могут представлять интерес для разработки новых материалов, применимых в устройствах спинtronики.

Финансирование. Работа выполнена в рамках государственного задания Минобрнауки России (темы «Спин», № АААА-А18-118020290104-2 и «Квант», № АААА-А18-118020190095-4) при частичной поддержке Российского фонда фундаментальных исследований (проекты №№ 18-02-00739, 18-32-00686), комплексной программы Уральского отделения РАН (проект № 18-10-2-37) и Правительства Российской Федерации (постановление № 211, контракт № 02.A03.21.0006).

Работа подготовлена по итогам XXXVIII Совещания по физике низких температур (HT-38).

ЛИТЕРАТУРА

1. K. Inomata, N. Ikeda, N. Tezuka et al., Sci. Tech. Adv. Mater. **9**, 014101 (2008).
2. B. Ю. Ирхин, М. И. Кацнельсон, УФН **164**, 705 (1994).
3. M. I. Katsnelson, V. Yu. Irkhin, L. Chioncel et al., Rev. Mod. Phys. **80**, 315 (2008).
4. V. Yu. Irkhin, M. I. Katsnelson, and A. I. Lichtenstein, J. Phys.: Cond. Mat. **19**, 315201 (2007).
5. H. Fujiwara, K. Terashima, M. Sunagawa et al., Phys. Rev. Lett. **121**, 257201 (2018).
6. V. Yu. Irkhin and M. I. Katsnelson, Eur. Phys. J. B **30**, 481 (2002).
7. T. Graf, C. Felser, and S. S. P. Parkin, Prog. Solid State Chem. **39**, 1 (2011).
8. T. Guan, C. Lin, C. Yang et al., Phys. Rev. Lett. **115**, 087002 (2015).

9. X. L. Wang, Phys. Rev. Lett. **100**, 156404 (2008).
10. M. Jourdan, J. Minar, J. Braun et al., Nature Comm. **5**, 3974 (2014).
11. S. Ouardi, G. H. Fecher, C. Felser et al., Phys. Rev. Lett. **110**, 100401 (2013).
12. L. Bainsla, A. I. Mallick, M. M. Raja et al., Phys. Rev. B **91**, 104408 (2015).
13. Н. И. Коуров, В. В. Марченков, К. А. Белозерова и др., ЖЭТФ **145**, 491 (2014).
14. Н. И. Коуров, В. В. Марченков, К. А. Белозерова и др., ЖЭТФ **148**, 966 (2015).
15. N. I. Kourov, V. V. Marchenkov, A. V. Korolev et al., Mater. Res. Express **4**, 116102 (2017).
16. V. V. Marchenkov, Yu. A. Perevozchikova, N. I. Kourov et al., J. Magn. Magn. Mat. **459**, 211 (2018).
17. L. Wollmann, S. Chadov, J. Kubler et al., Phys. Rev. B **90**, 214420 (2014).
18. S. Majumdar, M. K. Chattopadhyay, V. K. Sharma et al., Phys. Rev. B **72**, 012417 (2005).
19. Sn. Chatterjee, S. Das, S. Pramanick et al., arXiv: 1810.04865.
20. Y. J. Zhang, Z. H. Liu, G. T. Li et al., J. Alloys Compd. **616**, 449453 (2014).
21. C. Jiang, M. Venkatesan, and J. M. D. Coey, Solid State Comm. **118**, 513 (2001).
22. H. Luo, Z. Zhu, L. Ma et al., J. Phys. D: Appl. Phys. **41**, 055010 (2008).
23. M. E. Jamer, Y. J. Wang, G. M. Stephen et al., Phys. Rev. Appl. **7**, 064036 (2017).
24. R. Stinshoff, A. K. Nayak, G. H. Fecher et al., Phys. Rev. B **95**, 060410(R) (2017).
25. H. van Leuken and R. A. de Groot, Phys. Rev. Lett. **74**, 1171 (1995).
26. В. Ю. Ирхин, Ю. П. Ирхин, Электронная структура, физические свойства и корреляционные эффекты d- и f-металлах и их соединениях, УрО РАН, Екатеринбург (2004).
27. А. Б. Грановский, В. Н. Прудников, А. П. Казаков и др., ЖЭТФ **142**, 916 (2012).
28. Дж. Займан, Электроны и фононы, Изд-во иностр. лит., Москва (1962).
29. V. V. Marchenkov, N. I. Kourov, and V. Yu. Irkhin, Phys. Met. Metallogr. **119**, 64 (2018).